



Laboratorium EMVO Sp. J. Urbański, Pawelak
ul. Jasna 1
00-013 Warszawa

tel. +48 22 780 29 64
e-mail: laboratorium@emvo.pl



AB 1630

Sprawozdanie z pomiarów pól elektromagnetycznych - środowisko nr 09/09/OŚ/2024 – ELT



| | | |
|-------------------|---|---------------------------|
| Nr i nazwa stacji | BT42930_BIAŁOGARD_WSCHÓD | |
| Adres | 78-200 Białogard, ul. Księcia Bogusława X, dz. nr 137/323 | |
| Opracowanie | [REDACTED] | Specjalista ds. opracowań |
| Autoryzacja | [REDACTED] | Kierownik Laboratorium |
| Podpis | [REDACTED] | |
| Data | 2024-09-25 | |

Spis treści

| | |
|---|---|
| 1. Informacje ogólne..... | 3 |
| 2. Podstawa prawna. | 3 |
| 3. Opis pomiarów..... | 3 |
| 4. Zróżnicowanie dopuszczalne poziomy pól elektromagnetycznych..... | 4 |
| 5. Charakterystyka źródeł PEM..... | 6 |
| 6. Wyniki pomiarów..... | 6 |
| 7. Stwierdzenie zgodności | 6 |
| 8. Oświadczenie..... | 8 |
| 9. Spis załączników. | 8 |

1. Informacje ogólne.

| | |
|---|--|
| Zleceniodawca | Axians Networks Poland Sp. z o.o. ul. Annopol 4a, 03-236 Warszawa Osoba udzielająca informacji – [REDAKTOWANE] |
| Istotne informacje dostarczone przez klienta | komplet informacji niezbędnych do wykonania pomiarów i opracowania sprawozdania |
| Dane otrzymane od klienta mogące mieć wpływ na ważność wyników | Dane anten sektorowych, dane anten radioliniowych, parametry pracy instalacji, ustawienie pochylenia anten |
| Prowadzący instalację | TOWERLINK POLAND SP. z.o.o. , ul. Kasprzaka 4, 01-211 Warszawa |
| Lokalizacja obiektu | 78-200 Białogard, ul. Księcia Bogusława X, dz. nr 137/323 |
| Miejsce instalacji anten | Wieża rurowa |
| Miejsce instalacji urządzeń | Outdoor |
| Osoby wykonujące pomiar | [REDAKTOWANE] |
| Data wykonania pomiaru | 25.09.2024 |
| Temperatura na początku pomiaru [°C] | +17,0 |
| Temperatura na koniec pomiaru [°C] | +17,0 |
| Warunki atmosferyczne | Brak opadów |
| Wilgotność na początku pomiaru [%] | 85,0 |
| Wilgotność na koniec pomiaru [%] | 88,0 |
| Godzina na początku pomiaru | 10:20 |
| Godzina na koniec pomiaru | 11:35 |
| Inne źródła pól elektromagnetycznych oznaczone na załączniku graficznym | Występują |
| Parametry pracy instalacji | Tryb eksploatacyjny |

2. Podstawa prawna.

2.1 Normy i rozporządzenia:

- Ustawa z dnia 27 kwietnia 2001 r. Prawo Ochrony Środowiska (Dz.U. 2024 r. poz. 54),
- Rozporządzenia Ministra Zdrowia z dnia 17 grudnia 2019 r. w sprawie dopuszczalnych poziomów pól elektromagnetycznych w środowisku (Dz. U. z 2019 r., poz. 2448),
- Rozporządzenie Ministra Klimatu z dnia 17.02.2020 r. w sprawie sposobów sprawdzania dotrzymania dopuszczalnych poziomów pól elektromagnetycznych w środowisku (Dz. U. z 2022 r., poz. 2630).

3. Opis pomiarów

| | |
|---|---|
| Metodologia pomiarowa | Pomiary w oparciu o Rozporządzenie Ministra Klimatu z dnia 17 lutego 2020 r. w sprawie sposobów sprawdzania dotrzymania dopuszczalnych poziomów pól elektromagnetycznych w środowisku (Dz.U. 2022 poz. 2630). |
| Cel badań | Sprawdzenie dotrzymania dopuszczalnych poziomów pól elektromagnetycznych w środowisku. |
| Opis zestawu pomiarowego | Miernik Narda NBM 520 nr D-1232 - 30/WL, Sonda EF9091 nr A-0078 - 31/WL, o zakresie pomiarowym 0,7 V/m 300V/m pracująca w paśmie 80 MHz – 90 GHz, świadectwo wydane przez Laboratorium Wzorców i Metrologii Pola Elektromagnetycznego, Instytut Telekomunikacji, Teleinformatyki i Akustyki Politechniki Wrocławskiej. Świadectwo wzorcowania LWiMP/W/264/23 ważne do 27.06.2025r. Miernik Narda NBM 520, Sonda EF 9091 pracująca w zakresie temperatury -10°C - +50°C oraz wilgotności 5% - 95%. Niepewność rozszerzona 54,8% przy poziomie ufności 95% z uwzględnieniem współczynnika rozszerzenia k=2. |
| Wyposażenie pomocnicze | Termohigrometr Termik+S nr 1330823 - WL/51. Sprawdzany okresowo. Dalmierz laserowy BOSCH Professional GLM 40 nr 328411728 - WL/59. Sprawdzany okresowo. GPS Garmin 65 nr 6QA008956 - WL/55. Sprawdzany okresowo w punktach osnowy geodezyjnej, zgodnie z procedurą laboratorium PZ-6.5 sprawdzanie wewnętrzne WL. |
| Procedura doboru pionów pomiarowych | Laboratorium przed przystąpieniem do pomiarów wykonało obliczenia rozkładu pól elektromagnetycznych pochodzących od badanej instalacji (z wykorzystaniem superpozycji charakterystyk propagacyjnych (od producenta anten) dla zastosowanych anten z uwzględnieniem topografii terenu, aktualnej zabudowy usługowo-mieszkaniowej oraz parametrów pracy urządzeń i anten otrzymanych od zleceniodawcy, przyjęło strategię pomiarową doboru pionów pomiarowych w oparciu o wykonane obliczenia oraz sporządzony dokument Analiza Obszaru Pomiarowego. |
| Odległość, do której zostały wykonane pomiary | Pomiary zostały wykonane do odległości, dla której, na podstawie uprzednio przeprowadzonych obliczeń, stwierdzono w miejscach dostępnych dla ludności występowanie pól elektromagnetycznych o najwyższym poziomie, które pochodzą z badanej instalacji. |
| Pomiary zostały wykonane | <ol style="list-style-type: none">1. w miejscach dostępnych dla ludności, w szczególności w tych miejscach, w których, na podstawie uprzednio przeprowadzonych obliczeń, stwierdzono występowanie w danych zakresach częstotliwości pól elektromagnetycznych o poziomach zbliżonych do poziomów dopuszczalnych, określonych w przepisach wydanych na podstawie art. 122 ust. 1 ustawy z dnia 27 kwietnia 2001 r. – Prawo ochrony środowiska.2. na obszarze pomiarowym, dla którego, na podstawie uprzednio przeprowadzonych obliczeń stwierdzono w miejscach dostępnych dla ludności występowanie pól elektromagnetycznych o najwyższym poziomie, które pochodzą z badanej instalacji zgodnie z wymaganiami pkt 5 ppkt 2 oraz pkt 13 ppkt 1 Rozporządzenia Ministra Klimatu z dnia 17 lutego 2020 r. w sprawie sposobów sprawdzania dotrzymania dopuszczalnych poziomów pól elektromagnetycznych w środowisku (Dz.U. 2022 poz. 2630). Wyniki obliczeń nie uwzględniały parametrów pracy instalacji innych operatorów występujących na obiekcie bądź w obszarze pomiarowym. |

3. na głównych i pomocniczych kierunkach pomiarowych, na kierunkach zbliżonych do azymutów anten oraz w dodatkowych pionach pomiarowych zgodnie z wymaganiami pkt 13, 14 i 19 Rozporządzenia Ministra Klimatu z dnia 17 lutego 2020 r. (Dz.U. 2022 poz. 2630).
4. miejsca niedostępne podczas wykonywania pomiarów wskazane zostały w pkt 6 (tabeli wyniki pomiarów)
5. w dodatkowych pionach pomiarowych w lokalach oraz na balkonach i tarasach, na których mogą przebywać ludzie, po poinformowaniu o planowanych pomiarach z minimum 3-dniowym wyprzedzeniem i po umożliwieniu dostępu do lokalu, balkonu lub tarasu przez jego dysponenta lub bez zachowania terminu wskazanego w pierwszej części zdania za zgodą dysponenta przestrzeni pomiarowej.

Dobór dodatkowych pionów pomiarowych w lokalach oraz na balkonach i tarasach

Dodatkowe piony pomiarowe w lokalach, na balkonach i tarasach zostały wybrane zgodnie z procedurą laboratorium nr PP 7.3/7.4/7.5-11 drogą metod obliczeniowych, z uwzględnieniem: rodzaju badanej instalacji (w tym parametrów technicznych instalacji), lokalizacji badanej instalacji, ukształtowania terenu wokół badanej instalacji. Na podstawie obliczeń nie stwierdzono w lokalach, na balkonach i tarasach wartości nie mniejszych niż poziomów dopuszczalnych określonych w przepisach wydanych na podstawie art. 122 ust. 1 ustawy z dnia 27 kwietnia 2001 r. – Prawo ochrony środowiska.

Sposób powiadamiania dysponentów

Zgodnie z pkt 14 Rozporządzenia Ministra Klimatu z dnia 17 lutego 2020 r. w sprawie sposobów sprawdzania dotrzymania dopuszczalnych poziomów pól elektromagnetycznych w środowisku (Dz.U. 2022 poz. 2630). Informacji dokonuje się poprzez rządowy portal internetowy SI2PEM (<https://si2pem.gov.pl>) lub zawiadomienie spółdzielni mieszkaniowej, zarządcy nieruchomości, zarządu wspólnoty, umieszczenie informacji o planowanych pomiarach na tablicach ogłoszeń w klatkach schodowych bloków lub na drzwiach wejściowych, przekazanie zawiadomienia do administracji lub recepcji obiektu, pozostawienie informacji w skrynkach pocztowych itp. lub przekazanie osobiste.

Warunki pracy urządzeń nadawczych

Tryb pracy eksploatacyjny.

4. Zróżnicowanie dopuszczalne poziomy pól elektromagnetycznych.

Zakresy znajdują się w Dzienniku Ustaw z dnia 17 grudnia 2019 r. przedstawione są w tabeli nr 2 (Dz. U. z 2019r. poz. 2448).

| Parametr fizyczny | Składowa elektryczna E (V/m) | Składowa magnetyczna H (A/m) | Gęstość mocy S (W/m ²) |
|---|------------------------------|------------------------------|------------------------------------|
| Zakres Częstotliwości pola elektromagnetycznego | | | |
| od 400 MHz do 2000 MHz | $1,375 \times f^{0,5}$ | $0,0037 \times f^{0,5}$ | $f / 200$ |
| od 2 GHz do 300 GHz | 61 | 0,16 | 10 |

5. Charakterystyka źródeł PEM.

Zgodnie z informacją otrzymaną od Klienta pomiary zostały wykonane przy ustawieniach pochylenia anten zgodnych z pkt. 13, ppkt 2 Rozporządzenia Ministra Klimatu z dnia 17 lutego 2020 roku.

Tabela 1. Anteny sektorowe - dane otrzymane od klienta

| Typ anteny | Współrzędne geograficzne | Azymut mechaniczny [°] | Azymut elektryczny [°] | Wysokość zawieszenia anten (środek anteny) n.p.t. [m] | Pasma częstotliwości [MHz] | Zakres pochylenia elektrycznego [°] | Zakres pochylenia mechanicznego [°] | Moc EIRP [W] | Suma EIRP [W] |
|---------------|----------------------------------|------------------------|------------------------|---|----------------------------|-------------------------------------|-------------------------------------|--------------|---------------|
| 120105 | 54°00'45.90"N, 16°00'07.80" E | 125 | 125 | 32,00 | 2600 | 2,0 - 10,0 | 0,0 | 11634 | 11634 |
| 120105 | 54°00'45.90"N, 16°00'07.80" E | 220 | 220 | 32,00 | 2600 | 2,0 - 10,0 | 0,0 | 11634 | 11634 |
| 120105 | 54°00'45.90"N, 16°00'07.80" E | 310 | 310 | 32,00 | 2600 | 2,0 - 10,0 | 0,0 | 11634 | 11634 |
| ATR4518R13V06 | 54°00'45.90"N, 16°00'07.80" E | 125 | 125 | 30,40 | 1800 | 0,0 - 10,0 | 0,0 | 3043 | 10371 |
| | | | | | 2600 | 0,0 - 10,0 | | 3629 | |
| | | | | | 900 | 0,0 - 10,0 | | 3699 | |
| ATR4518R13V06 | 54°00'45.90"N, 16°00'07.80" E | 220 | 220 | 30,40 | 1800 | 0,0 - 10,0 | 0,0 | 3043 | 10371 |
| | | | | | 2600 | 0,0 - 10,0 | | 3629 | |
| | | | | | 900 | 0,0 - 10,0 | | 3699 | |
| ATR4518R13V06 | 54°00'45.90"N, 16°00'07.80" E | 310 | 310 | 30,40 | 1800 | 0,0 - 10,0 | 0,0 | 3043 | 10371 |
| | | | | | 2600 | 0,0 - 10,0 | | 3629 | |
| | | | | | 900 | 0,0 - 10,0 | | 3699 | |

Tabela 2. Anteny radioliniowe- dane otrzymane od klienta

| Typ anteny | Współrzędne geograficzne | Azymut [°] | Średnica [m] | Pasma częstotliwości [GHz] | Zysk energetyczny [dBi] | Moc wyjściowa nadajnika [dBm] | EIRP [W] | Wysokość środka elektrycznego anten n.p.t. [m] |
|------------------|----------------------------------|------------|--------------|----------------------------|-------------------------|-------------------------------|----------|--|
| ANT2 A 0.3 80 HP | 54°00'45.90"N, 16°00'07.80" E | 315 | 0.3 | 80 | 46.5 | 16 | 1778 | 33 |

6. Wyniki pomiarów.

Wyniki pomiarów pól elektromagnetycznych dla celów ochrony środowiska przedstawia poniższa tabela. Piony pomiarowe zostały przedstawione w zał. 2.

| Nr PP | Pole-E [V/m] | Pole-E, +U [V/m] | Pole-H [A/m] | Pole-H, +U [A/m] | Wys. pomiaru [m] | Opis pionu | Uwagi | WM _E | WM _H |
|-------|--------------|------------------|--------------|------------------|------------------|------------------------------------|--|-----------------|-----------------|
| 1 | 1,2 | 1,86 | 0,003 | 0,005 | 0,3 - 2,0 | 54° 0' 46.58"N, 16° 0' 6.18"E | Otoczenie stacji bazowej - wzdłuż gł. osi promieniowania - GKP | 0,066 | 0,067 |
| 2 | 1,0 | 1,55 | 0,003 | 0,004 | 0,3 - 2,0 | 54° 0' 47.33"N, 16° 0' 4.55"E | Otoczenie stacji bazowej - wzdłuż gł. osi promieniowania - GKP | 0,055 | 0,056 |
| 3 | 0,9 | 1,39 | 0,002 | 0,004 | 0,3 - 2,0 | 54° 0' 48.26"N, 16° 0' 2.51"E | Otoczenie stacji bazowej - wzdłuż gł. osi promieniowania - GKP | 0,050 | 0,051 |
| 4 | 0,8 | 1,24 | 0,002 | 0,003 | 0,3 - 2,0 | 54° 0' 45.4"N, 16° 0' 6.49"E | Otoczenie stacji bazowej - wzdłuż gł. osi promieniowania - GKP | 0,044 | 0,045 |
| 5 | 1,8 | 2,79 | 0,005 | 0,007 | 0,3 - 2,0 | 54° 0' 42.92"N, 16° 0' 3.97"E | Otoczenie stacji bazowej - wzdłuż gł. osi promieniowania - GKP | 0,100 | 0,101 |
| 6 | 2,2 | 3,41 | 0,006 | 0,009 | 0,3 - 2,0 | 54° 0' 41.93"N, 16° 0' 2.93"E | Otoczenie stacji bazowej - wzdłuż gł. osi promieniowania - GKP | 0,122 | 0,124 |
| 7 | 0,8* | 1,24 | 0,002 | 0,003 | 0,3 - 2,0 | 54° 0' 40.7"N, 16° 0' 1.08"E | Otoczenie stacji bazowej - wzdłuż gł. osi promieniowania - GKP | 0,044 | 0,045 |
| 8 | 0,8 | 1,24 | 0,002 | 0,003 | 0,3 - 2,0 | 54° 0' 38.93"N, 15° 59' 59.15"E | Otoczenie stacji bazowej - wzdłuż gł. osi promieniowania - GKP | 0,044 | 0,045 |
| 9 | 0,8* | 1,24 | 0,002 | 0,003 | 0,3 - 2,0 | 54° 0' 46.95"N, 16° 0' 9.32"E | Otoczenie stacji bazowej - PKP | 0,044 | 0,045 |
| 10 | 1,0 | 1,55 | 0,003 | 0,004 | 0,3 - 2,0 | 54° 0' 49.18"N, 16° 0' 11.93"E | Otoczenie stacji bazowej - PKP | 0,055 | 0,056 |

„Bez pisemnej zgody Laboratorium niniejsze sprawozdanie nie może być powielane inaczej, jak tylko w całości. Ponadto wyniki dotyczą tylko badanych obiektów przywołanych w niniejszym sprawozdaniu z badań”
09/09/OŚ/2024 - ELT

| Nr PP | Pole-E [V/m] | Pole-E, +U [V/m] | Pole-H [A/m] | Pole-H +U [A/m] | Wys. pomiaru [m] | Opis pionu | Uwagi | WM _E | WM _H |
|-------|--------------|------------------|--------------|-----------------|------------------|------------------------------------|---|-----------------|-----------------|
| 11 | 0,8* | 1,24 | 0,002 | 0,003 | 0,3 - 2,0 | 54° 0' 44.32"N, 16° 0' 9.71"E | Otoczenie stacji bazowej - wzdłuż gł. osi promieniowania - GKP | 0,044 | 0,045 |
| 12 | 0,8* | 1,24 | 0,002 | 0,003 | 0,3 - 2,0 | 54° 0' 43.49"N, 16° 0' 12.3"E | Otoczenie stacji bazowej - wzdłuż gł. osi promieniowania - GKP | 0,044 | 0,045 |
| 13 | 0,9 | 1,39 | 0,002 | 0,004 | 0,3 - 2,0 | 54° 0' 42.22"N, 16° 0' 16.74"E | Otoczenie stacji bazowej - wzdłuż gł. osi promieniowania - GKP | 0,050 | 0,051 |
| 14 | 1,2 | 1,86 | 0,003 | 0,005 | 0,3 - 2,0 | 54° 0' 41.34"N, 16° 0' 18.9"E | Otoczenie stacji bazowej - wzdłuż gł. osi promieniowania - GKP | 0,066 | 0,067 |
| 15 | 1,1 | 1,70 | 0,003 | 0,005 | 0,3 - 2,0 | 54° 0' 45.1"N, 16° 0' 3.16"E | Otoczenie stacji bazowej - PKP | 0,061 | 0,062 |
| 16 | 1,0 | 1,55 | 0,003 | 0,004 | 0,3 - 2,0 | 54° 0' 43.67"N, 15° 59' 58.41"E | Otoczenie stacji bazowej - PKP | 0,055 | 0,056 |
| A | 0,8 | 1,24 | 0,002 | 0,003 | 0,3 - 2,0 | 54° 00' 43.8"N, 16° 00' 13.4"E | Bogusława X 2, piętro 1, klatka schodowa, pomiar w otworze okiennym – DPP | 0,044 | 0,045 |
| | 1,5 | 2,32 | 0,004 | 0,006 | 0,3 - 2,0 | | Bogusława X 2, piętro 2, klatka schodowa, pomiar w otworze okiennym – DPP | 0,083 | 0,084 |
| B | 2,2 | 3,41 | 0,006 | 0,009 | 0,3 - 2,0 | 54° 0' 42.4"N, 16° 0' 18.1"E | Komedy 1, pomiar na zewnątrz otworu okiennego – DPP | 0,122 | 0,124 |
| C | 3,8 | 5,88 | 0,010 | 0,016 | 0,3 - 2,0 | 54° 0' 41.9"N, 16° 0' 2.7"E | Bolesława Śmiałego 57, piętro 1, klatka schodowa, pomiar w otworze okiennym – DPP | 0,210 | 0,214 |
| | 4,6 | 7,12 | 0,012 | 0,019 | 0,3 - 2,0 | | Bolesława Śmiałego 57, piętro 2, klatka schodowa, pomiar w otworze okiennym – DPP | 0,254 | 0,259 |
| | 3,7 | 5,73 | 0,010 | 0,015 | 0,3 - 2,0 | | Bolesława Śmiałego 57, piętro 3, klatka schodowa, pomiar w otworze okiennym – DPP | 0,205 | 0,208 |
| | 4,2 | 6,50 | 0,011 | 0,017 | 0,3 - 2,0 | | Bolesława Śmiałego 57, piętro 4, klatka schodowa, pomiar w otworze okiennym – DPP | 0,232 | 0,236 |
| D | 0,8* | 1,24 | 0,002 | 0,003 | 0,3 - 2,0 | 54° 0' 40.8"N, 15° 59' 59.9"E | Bolesława Śmiałego 64, pomiar na zewnątrz otworu okiennego – DPP | 0,044 | 0,045 |
| E | Brak dostępu | | | | | | | | |

Wynik pomiaru pole - E [V/m] - maksymalna wartość chwilowa zmierzona w danym pionie pomiarowym (uśredniona na podstawie punktu 11 załącznika do Rozporządzenia Ministra Klimatu z dnia 17 lutego 2020 r. w sprawie sposobów sprawdzania dotrzymania dopuszczalnych poziomów pól elektromagnetycznych w środowisku (Dz.U. 2022 poz. 2630)). Zgodnie z pkt. 7 załącznika do Rozporządzenia Ministra Klimatu z dnia 17 lutego 2020 r. w sprawie sposobów sprawdzania dotrzymania dopuszczalnych poziomów pól elektromagnetycznych w środowisku (Dz.U. 2022 poz. 2630) nie stosuje się poprawek pomiarowych.

Przyjęto najniższą dopuszczalną wartość składowej elektrycznej pola dla objętego pomiarami zakresu częstotliwości $\min(ME_{gr}) = 28 \text{ V/m}$ oraz składowej magnetycznej $\min(MH_{gr}) = 0,073 \text{ A/m}$.

* - wartość zmierzona poniżej zakresu akredytacji. Do obliczeń przyjęto wartość zgodną z dolną granicą akredytowanego zakresu pomiarowego metody.

GKP - główne kierunki pomiarowe

PKP - pomocnicze kierunki pomiarowe

DPP - dodatkowe punkty pomiarowe

PP - pion pomiarowy

U - niepewność pomiarowa rozszerzona, przy poziomie ufności 95%, z uwzględnieniem współczynnika rozszerzenia $k=2$

WM_E - wartość wskaźnikowa poziomu emisji pól elektromagnetycznych dla miejsc dostępnych dla ludności dla składowej elektrycznej pola

WM_H - wartość wskaźnikowa poziomu emisji pól elektromagnetycznych dla miejsc dostępnych dla ludności dla składowej magnetycznej pola

7. Stwierdzenie zgodności

Na podstawie wytycznych podanych w Rozporządzeniu Ministra Zdrowia z dnia 17 grudnia 2019 r. w sprawie dopuszczalnych poziomów pól elektromagnetycznych w środowisku (Dz.U. 2019 poz. 2448) oraz sposobów sprawdzania dotrzymania tych poziomów zgodnie z Rozporządzeniem Ministra Klimatu z dnia 17 lutego 2020 r. w sprawie sposobów sprawdzania dotrzymania dopuszczalnych poziomów pól elektromagnetycznych w środowisku (Dz.U. 2022 poz. 2630), dotyczących źródła wymagań, które muszą być spełnione, w oparciu o zasadę podejmowania decyzji zgodną z pkt. 26 Rozporządzenia Ministra Klimatu z dnia 17 lutego 2020 r. (Dz.U. 2022 poz. 2630), na podstawie wyników pomiarów pól elektromagnetycznych wykonanych w dniu 25.09.2024 stwierdzono, że wszystkie wyniki przeprowadzonych pomiarów w danym obszarze pomiarowym oraz wyznaczone na tej podstawie wskaźniki WME oraz WMH są mniejsze od wartości dopuszczalnych – zgodnie z przepisami wydanymi na podstawie art. 122 ust. 1 ustawy z dnia 27 kwietnia 2001 r. – Prawo ochrony środowiska – załącznikiem do Rozporządzenia Ministra Klimatu i Środowiska z dnia 17 lutego 2020 r. w sprawie sposobów sprawdzania dotrzymania dopuszczalnych poziomów pól elektromagnetycznych w środowisku (Dz.U. 2022 poz. 2630, pkt 26).

8. Oświadczenie.

Wyniki badania odnoszą się wyłącznie do badanego obiektu.

Bez pisemnej zgody sprawozdanie nie może być powielane inaczej, jak tylko w całości.

Uwagi i zastrzeżenia przyjmowane są w formie pisemnej.

9. Spis załączników.

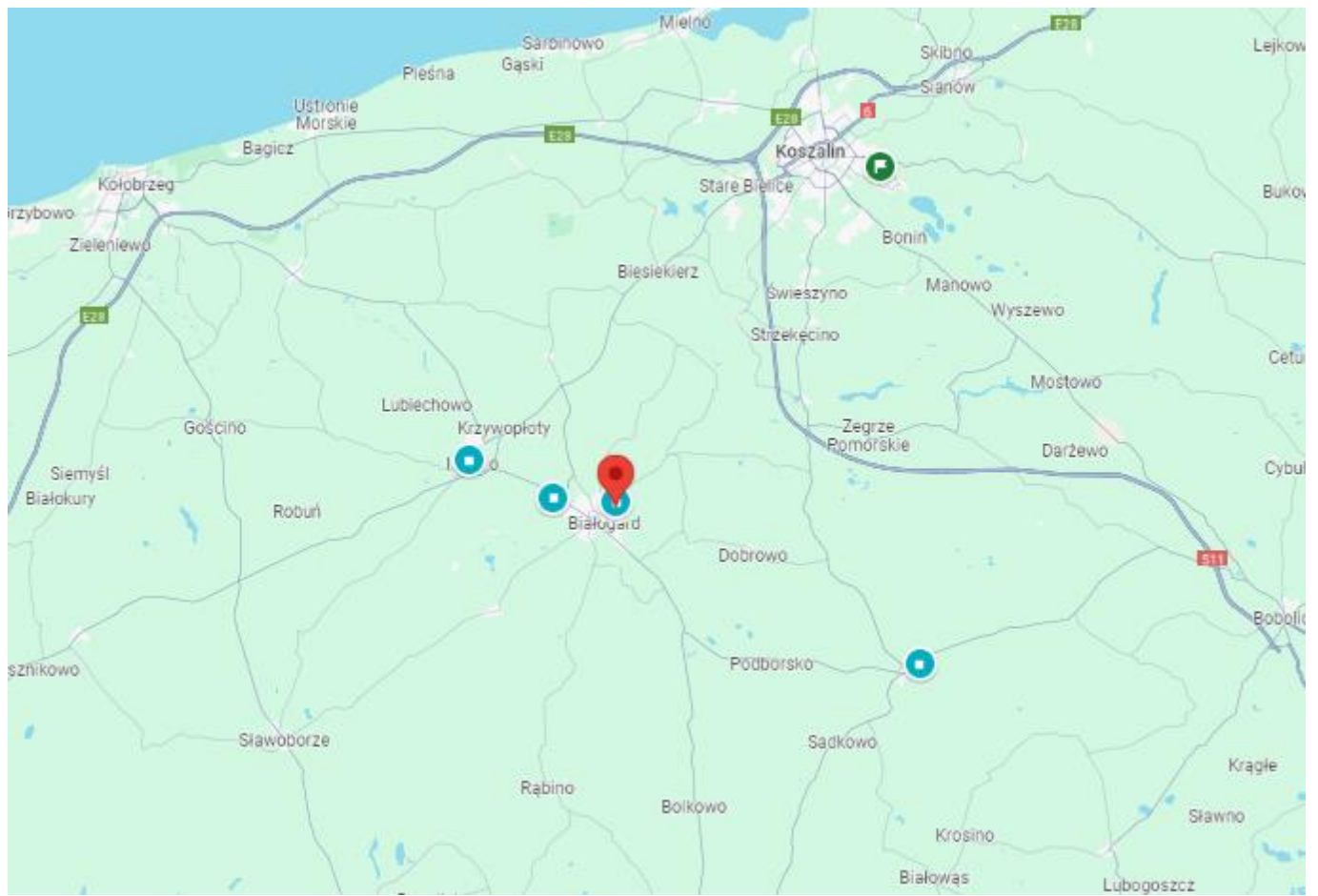
Zał. 1. Lokalizacja obiektu.

Zał. 2. Widok pionów pomiarowych

Zał. 3. Załączniki graficzne

Koniec sprawozdania

Załącznik 1. Lokalizacja obiektu



Współrzędne geograficzne

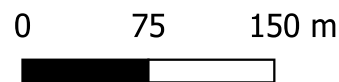
| | |
|------------|----------------|
| długość: | 16°00'07.80" E |
| szerokość: | 54°00'45.90" N |

Zał. 2. Widok pionów pomiarowych



LEGENDA:

- pion pomiarowy
- ▲ inna instalacja radiokomunikacyjna
- ▲ instalacja radiokomunikacyjna dla której wykonano pomiar
- antena sektorowa
- antena radioliniowa
- ▨ brak dostępu



Skala: 1:4500

Pomiary wykonano do odległości:
 - dla az. 125° - 220 metrów
 - dla az. 220° - 260 metrów
 - dla az. 310° - 220 metrów

„Bez pisemnej zgody Laboratorium niniejsze sprawozdanie nie może być powielane inaczej, jak tylko w całości. Ponadto wyniki dotyczą tylko badanych obiektów przywołanych w niniejszym sprawozdaniu z badań”

09/09/OŚ/2024 - ELT

Załącznik 3. Załączniki graficzne.

